

# Evaluation de performance en navigation

L. Jaulin, A. Bertholom, F. Dabe  
ENSIETA, GESMA, Brest

Workshop sur  
la navigation sur amers en milieu sous-marin  
Jeudi 14 juin 2007

# Plan

1. Intervalles
2. Propagation
3. Evaluation d'un système de mesure
4. Application à la navigation

# 1 Intervalles

Une variable aléatoire  $x$  réelle peut être représentée par un intervalle  $[x]$  tel que

$$\text{Supp}(p_x) \subset [x].$$

Intérêt : La manipulation est plus facile.

## 1.1 Arithmétique sur les intervalles

Si  $\diamond \in \{+, -, \cdot, /, \max, \min\}$ , on a

$$[x] \diamond [y] = [\{x \diamond y \mid x \in [x], y \in [y]\}].$$

Par exemple,

$$\begin{aligned} [-1, 3] + [2, 5] &= [1, 8], \\ [-1, 3] \cdot [2, 5] &= [-5, 15], \\ [-1, 3] / [2, 5] &= \left[-\frac{1}{2}, \frac{3}{2}\right], \end{aligned}$$

## 1.2 Projection

Soient  $x, y, z$  trois variables telles que

$$x \in [-\infty, 5],$$

$$y \in [-\infty, 4],$$

$$z \in [6, \infty],$$

$$z = x + y.$$

Les valeurs  $< 2$  pour  $x$ ,  $< 1$  pour  $y$  et  $> 9$  pour  $z$  sont inconsistantes.

En effet, puisque  $x \in [-\infty, 5]$ ,  $y \in [-\infty, 4]$ ,  $z \in [6, \infty]$   
et  $z = x + y$ , nous avons

$$z = x + y \Rightarrow z \in [6, \infty] \cap ([-\infty, 5] + [-\infty, 4]) \\ = [6, \infty] \cap [-\infty, 9] = [6, 9].$$

$$x = z - y \Rightarrow x \in [-\infty, 5] \cap ([6, \infty] - [-\infty, 4]) \\ = [-\infty, 5] \cap [2, \infty] = [2, 5].$$

$$y = z - x \Rightarrow y \in [-\infty, 4] \cap ([6, \infty] - [-\infty, 5]) \\ = [-\infty, 4] \cap [1, \infty] = [1, 4].$$

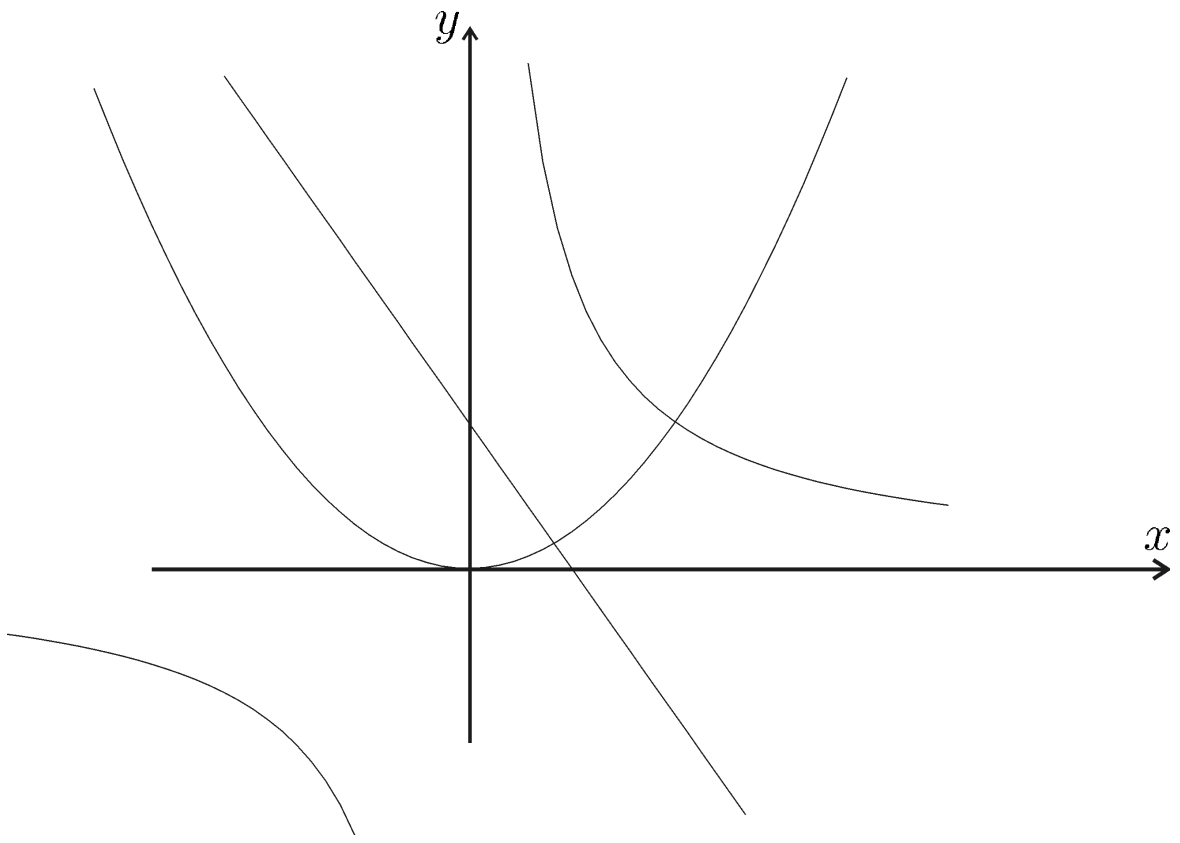
## 2 Propagation

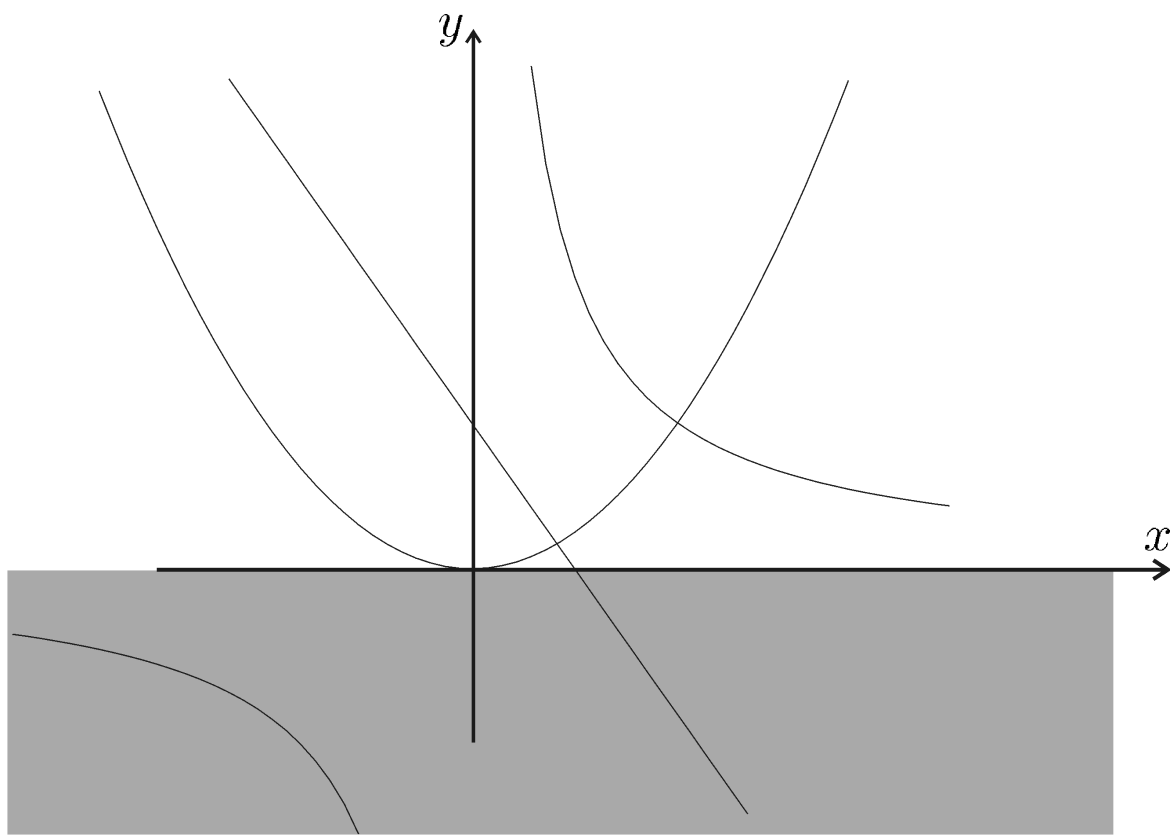
Considérons le problème à trois contraintes

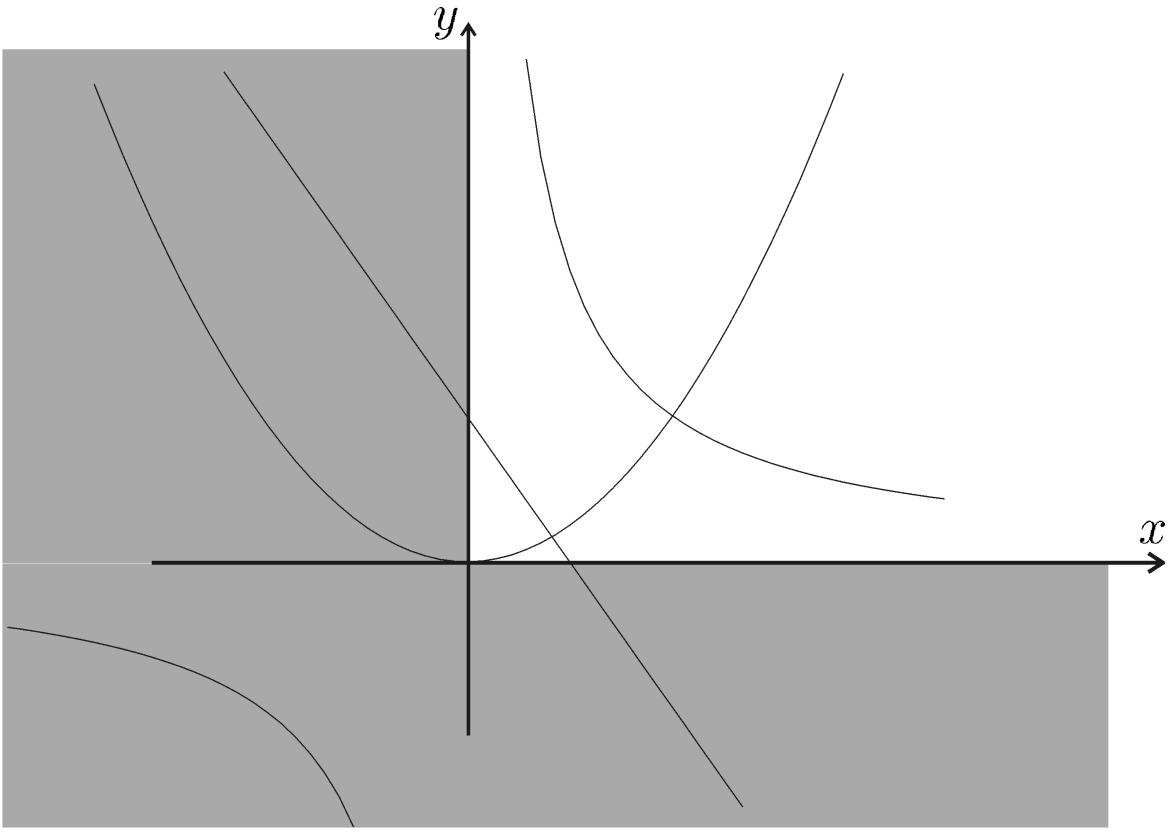
$$\begin{cases} (C_1) : & y = x^2 \\ (C_2) : & xy = 1 \\ (C_3) : & y = -2x + 1 \end{cases}$$

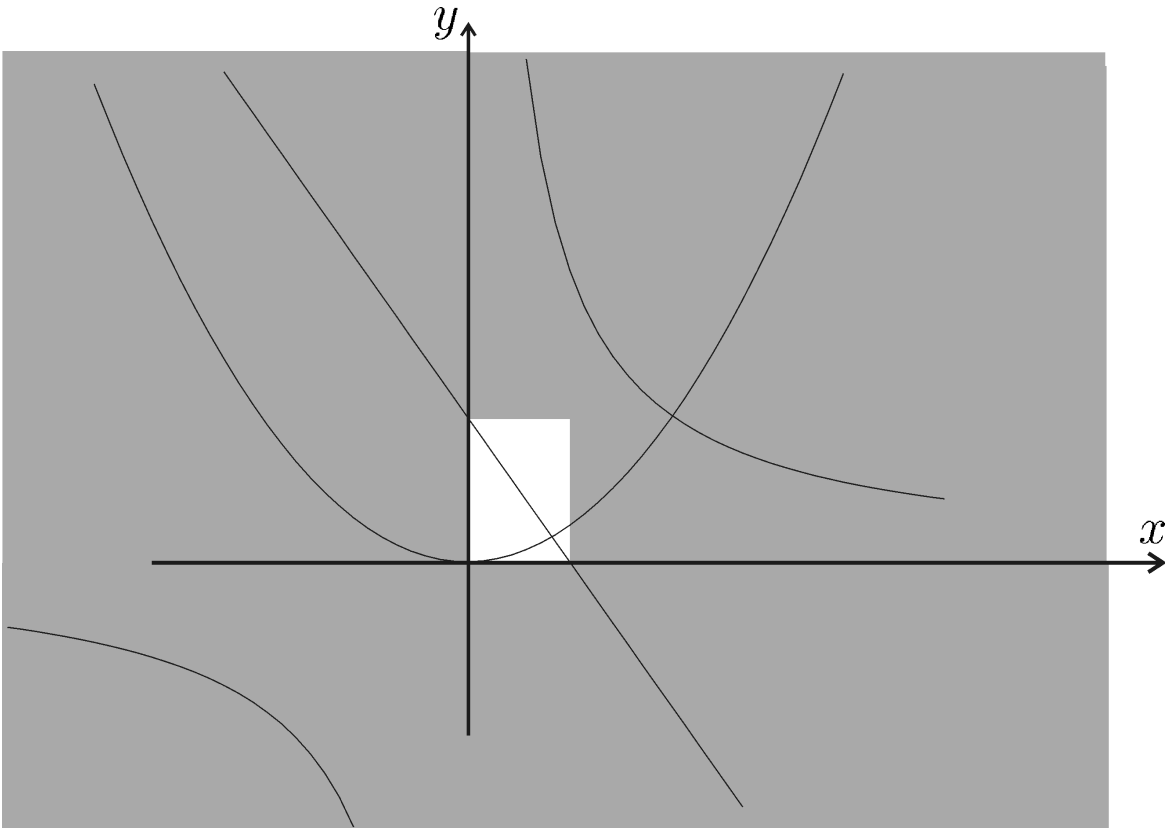
Pour chacune de ces variables, nous affectons le domaine  $[-\infty, \infty]$ .

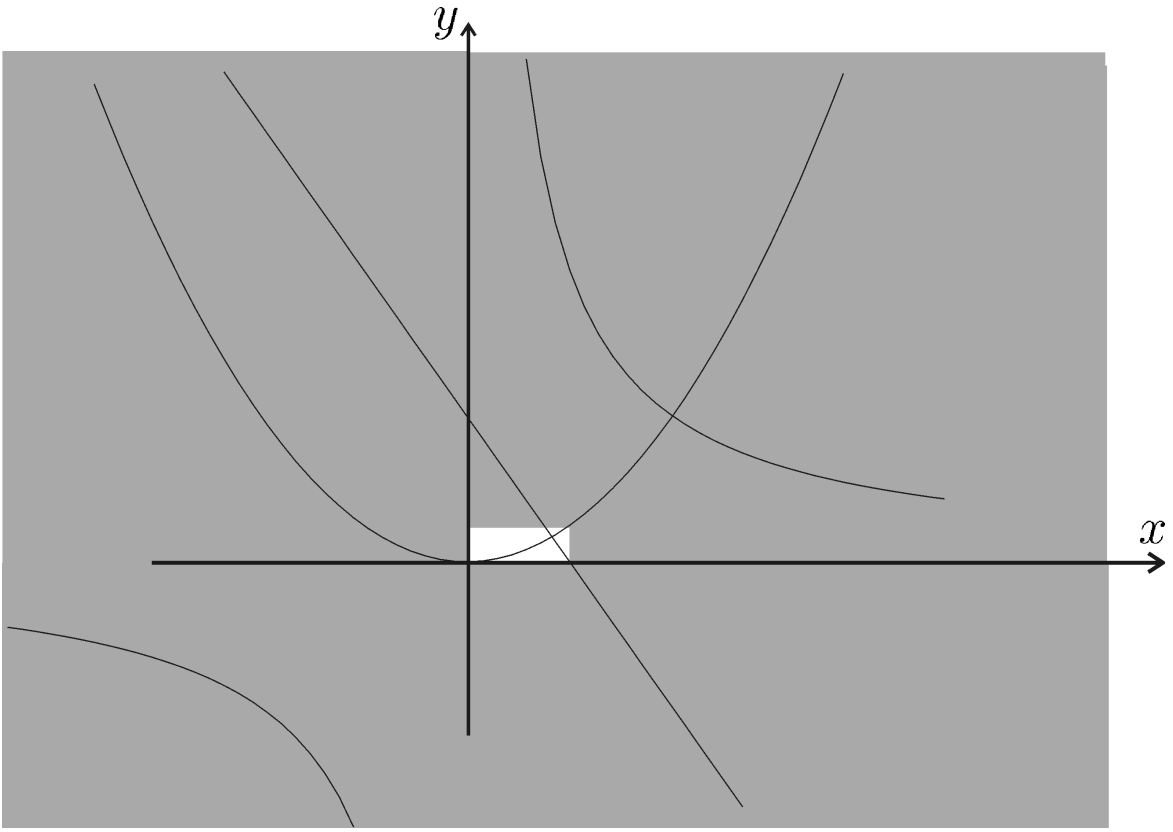
La *propagation* consiste à projeter ces contraintes jusqu'à l'équilibre.

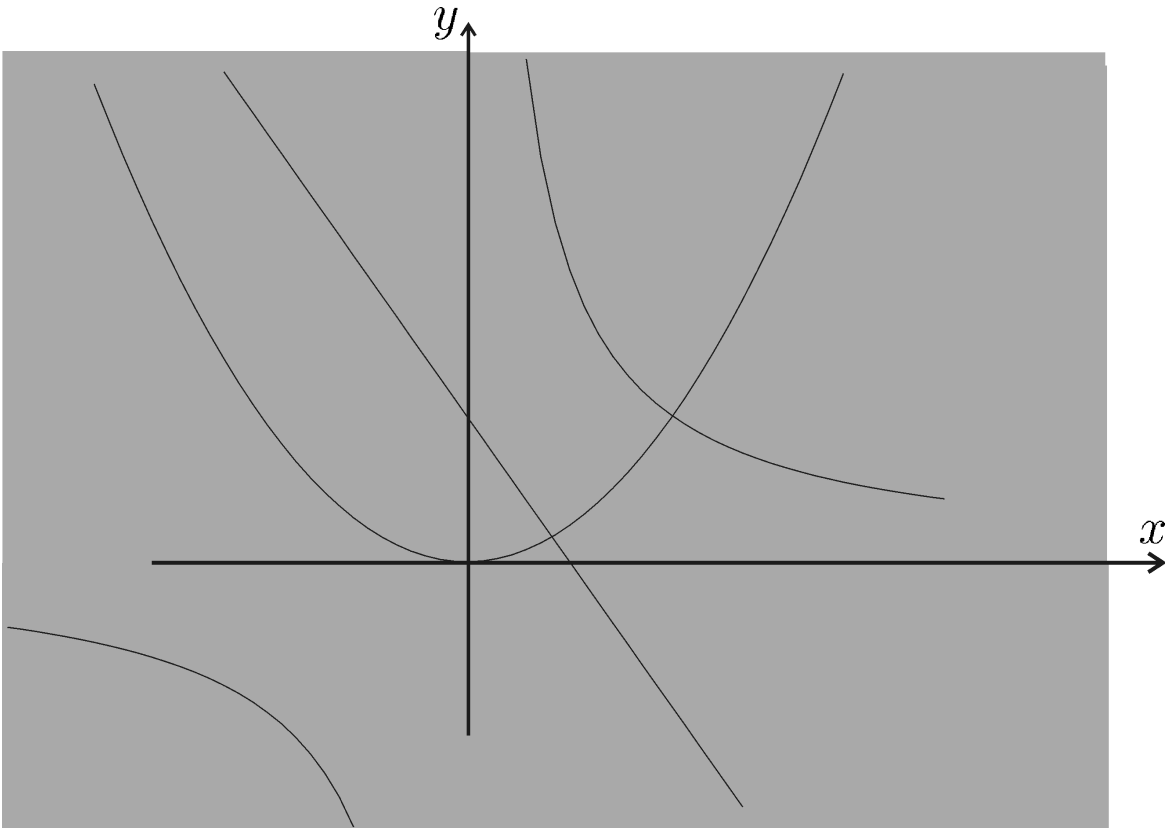


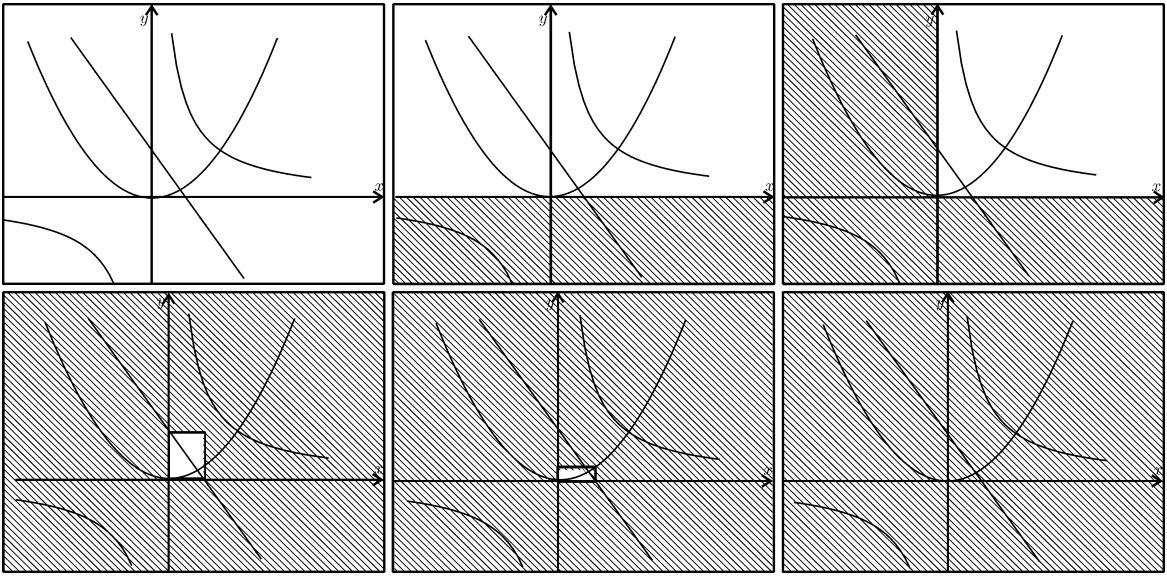












$$(C_1) \Rightarrow y \in [-\infty, \infty]^2 = [0, \infty]$$

$$(C_2) \Rightarrow x \in 1/[0, \infty] = [0, \infty]$$

$$(C_3) \Rightarrow y \in [0, \infty] \cap ((-2) \cdot [0, \infty] + 1) \\ = [0, \infty] \cap ([-\infty, 1]) = [0, 1]$$

$$x \in [0, \infty] \cap (-[0, 1]/2 + 1/2) = [0, \frac{1}{2}]$$

$$(C_1) \Rightarrow y \in [0, 1] \cap [0, 1/2]^2 = [0, 1/4]$$

$$(C_2) \Rightarrow x \in [0, 1/2] \cap 1/[0, 1/4] = \emptyset$$

$$y \in [0, 1/4] \cap 1/\emptyset = \emptyset$$

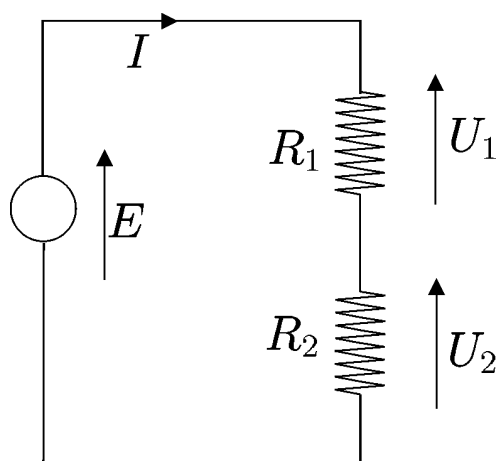
### 3 Evaluation d'un système de mesure

On a une pile et deux résistances.

Pile :  $E = 25V$ ,

Résistance :  $R_1 = 2\Omega, R_2 = 3\Omega$ .

## 3.1 Expérience 1



## Contraintes

$$\begin{aligned}P &= EI; E = (R_1 + R_2) I; \\U_1 &= R_1 I; U_2 = R_2 I; E = U_1 + U_2.\end{aligned}$$

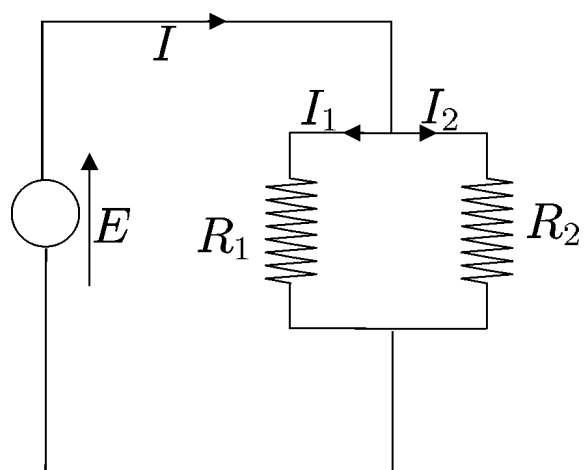
## Domaines initiaux

$$\begin{aligned}R_1 &\in [0, \infty] \Omega & R_2 &\in [0, \infty] \Omega & E &\in [23, 26] \text{V} \\P &\in [124, 130] \text{W} & I &\in [4, 8] \text{A} \\U_1 &\in [10, 11] \text{V} & U_2 &\in [14, 17] \text{V}.\end{aligned}$$

## Les domaines contractés sont

$$\begin{aligned}R_1 &\in [1.84, 2.31] \Omega & R_2 &\in [2.58, 3.35] \Omega & E &\in [24, 26] \text{V} \\P &\in [124, 130] \text{W} & I &\in [4.769, 5.417] \text{A} \\U_1 &\in [10, 11] \text{V} & U_2 &\in [14, 16] \text{V}.\end{aligned}$$

## 3.2 Expérience 2



## Contraintes

$$I = I_1 + I_2; E = R_1 I_1; E = R_2 I_2; P = E * I.$$

Domaines initiaux

$$\begin{aligned} R_1 &\in [0, \infty] \Omega & R_2 &\in [0, \infty] \Omega & P &\in [520, 550] \\ E &\in [24, 30] \text{V} & I &\in [16, 21] \text{A} \\ I_1 &\in [11, 15] \text{A} & I_2 &\in [8, 12] \text{A}. \end{aligned}$$

Les domaines contractés sont

$$\begin{aligned} R_1 &\in [1.9, 2.63] \Omega & R_2 &\in [2.47, 3.61] \Omega & P &\in [520, 550] \text{W} \\ E &\in [24.76, 28.94] \text{V} & I &\in [19, 21] \text{A} \\ I_1 &\in [11, 13] \text{A} & I_2 &\in [8, 10] \text{A}. \end{aligned}$$

## 3.3 Fusion

On peut fusionner en concaténant les deux CSPs et en liant les variables.

## 3.4 Evaluation

Si on a un capteur extérieur (à évaluer) capable de mesurer  $(R_1, R_2)$  avec une précision en norme  $< 1$ . On a

$$\left(R_1 - \tilde{R}_1\right)^2 + \left(R_2 - \tilde{R}_2\right)^2 < 1.$$

Une inconsistance peut traduire un défaut du capteur.

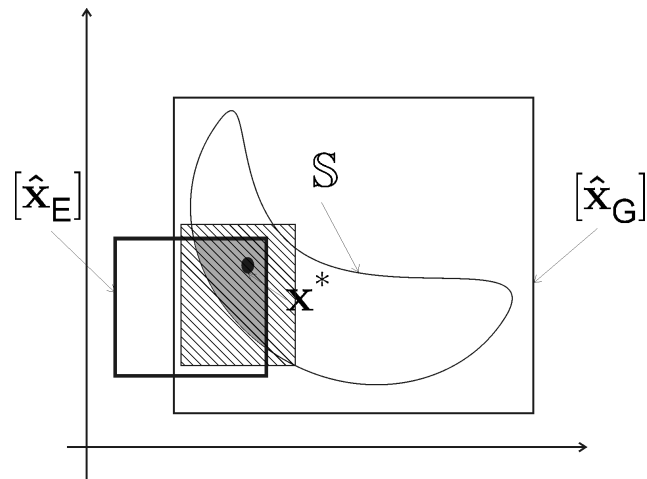
$\mathbf{x}$  : variables de notre problème.

$\mathbf{x}^*$  : la solution vraie

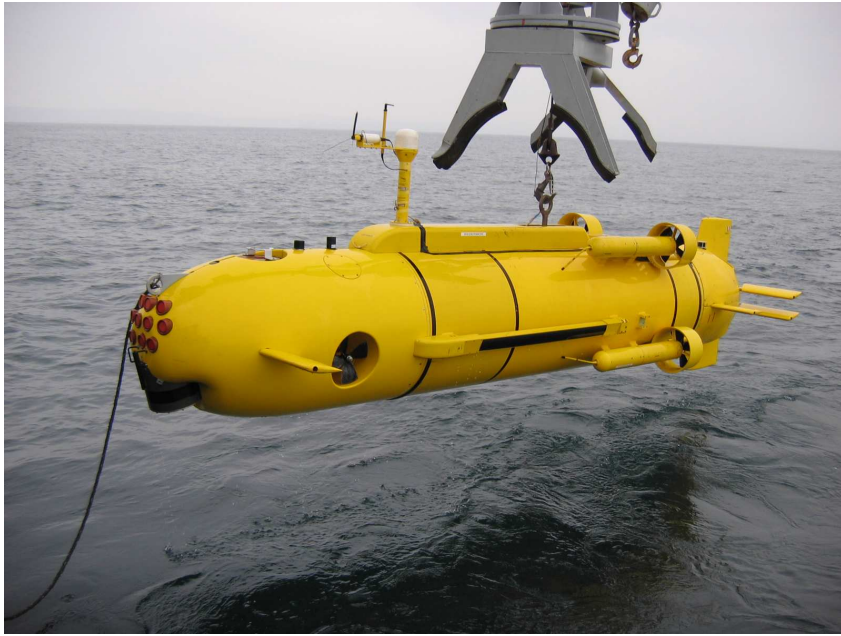
$\mathcal{S}$  : ensemble de tous les  $\mathbf{x}$  que l'on sait possibles.

$[\hat{\mathbf{x}}_E]$  : pavé généré par le système extérieur

$[\hat{\mathbf{x}}_G]$  : pavé généré par propagation avant fusion.



# 4 GESMI



Le *Redermor*, GESMA  
(Groupe d'Etude Sous-Marine de l'Atlantique)



Le *Redermor* à la surface

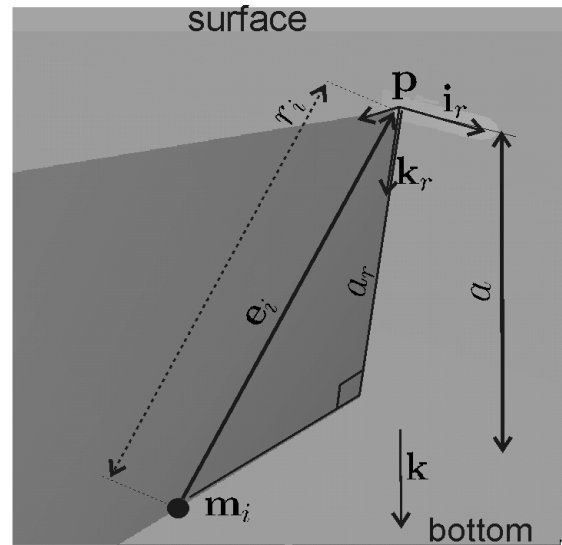
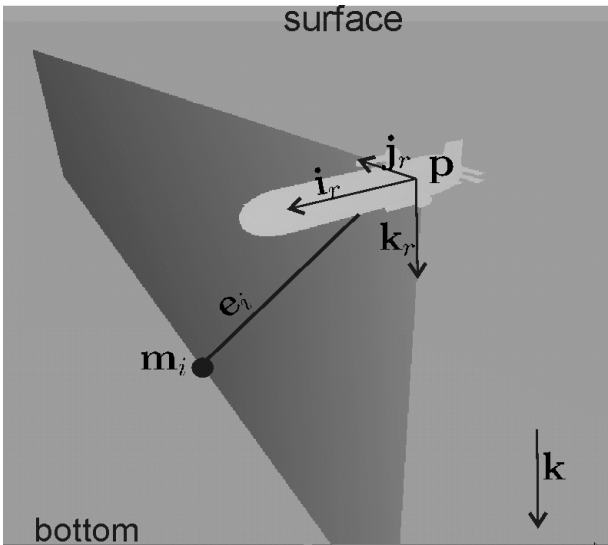
Montrer la simulation

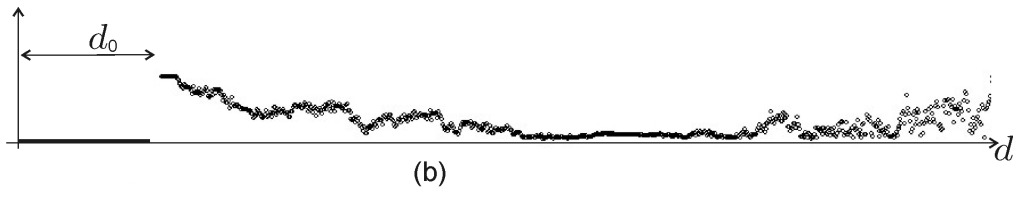
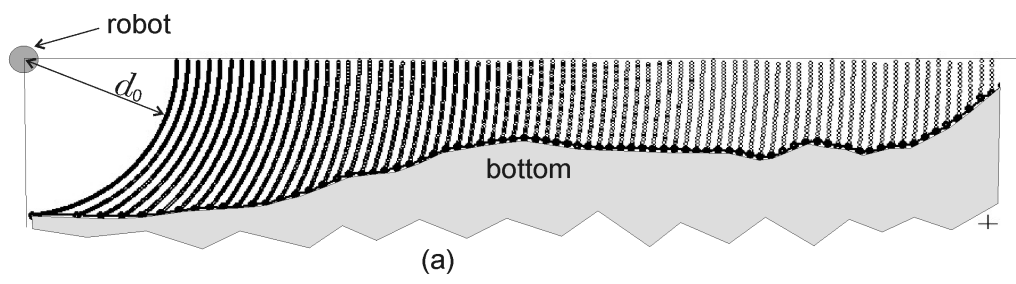
## 4.1 Capteurs

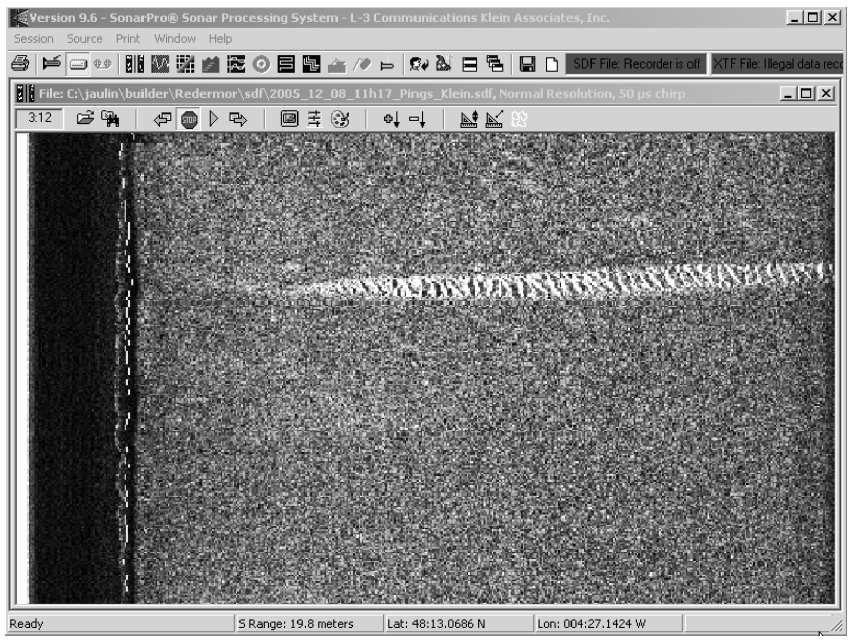
**Un GPS** (Global positioning system), disponible à la surface.

$$t_0 = 6000 \text{ s}, \quad \ell^0 = (-4.4582279^\circ, 48.2129206^\circ) \pm 2.5m$$
$$t_f = 12000 \text{ s}, \quad \ell^f = (-4.4546607^\circ, 48.2191297^\circ) \pm 2.5m$$

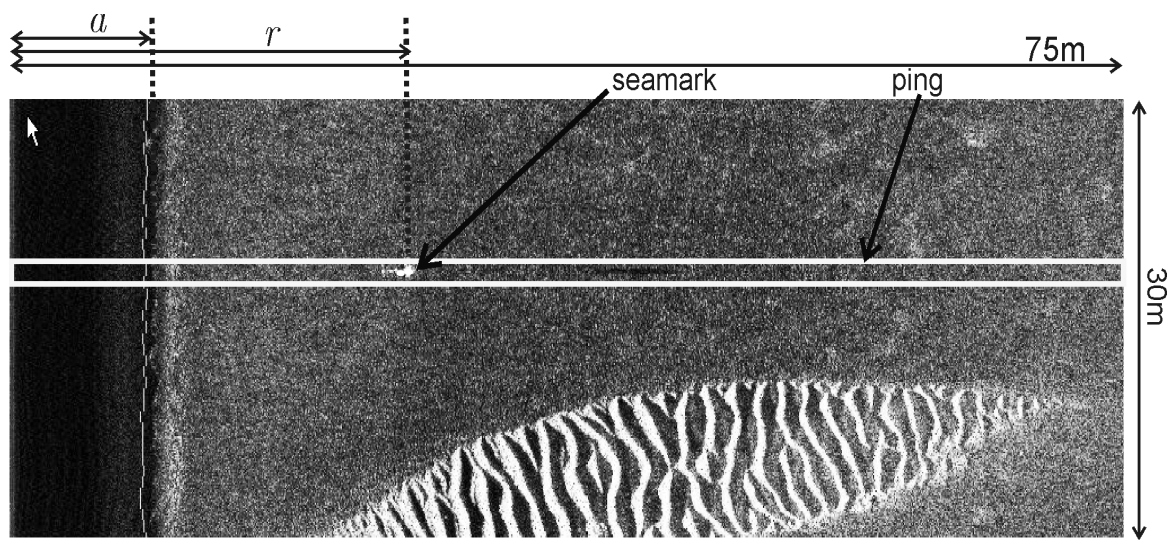
**Un sonar** (KLEIN 5400 side scan sonar). Donne la distance  $r$  entre le robot et la mine.







Screenshot du logiciel SonarPro

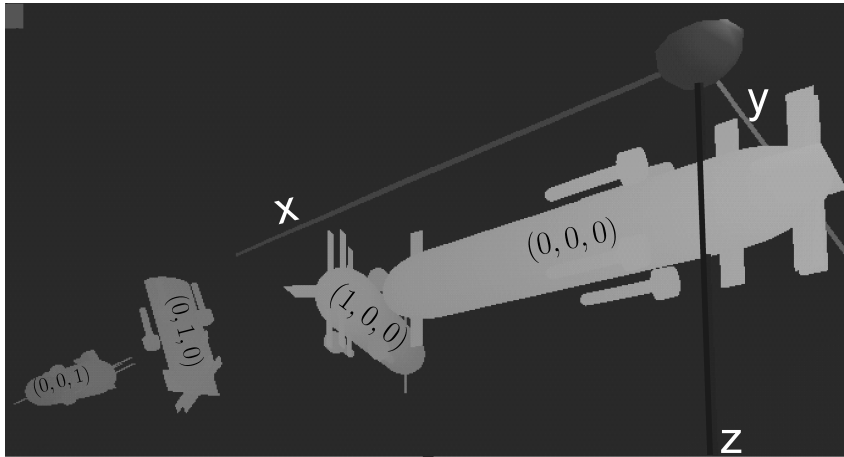


Détection d'une mine à l'aide de SonarPro

**Le Loch-Doppler** renvoie la vitesse du robot  $v_r$  et son altitude  $a$ .

**Une centrale inertielle** (Octans III from IXSEA) renvoie le roulis  $\phi$ , le tangage  $\theta$  et le cap  $\psi$  du robot.

$$\begin{pmatrix} \phi \\ \theta \\ \psi \end{pmatrix} \in \begin{pmatrix} \tilde{\phi} \\ \tilde{\theta} \\ \tilde{\psi} \end{pmatrix} + \begin{pmatrix} 1.75 \times 10^{-4} \cdot [-1, 1] \\ 1.75 \times 10^{-4} \cdot [-1, 1] \\ 5.27 \times 10^{-3} \cdot [-1, 1] \end{pmatrix}.$$



## 4.2 Données

Pour chaque  $t \in \{6000.0, 6000.1, 6000.2, \dots, 11999.4\}$ , nous avons des intervalles pour

$$\phi(t), \theta(t), \psi(t), v_r^x(t), v_r^y(t), v_r^z(t), a(t).$$

Six mines ont été détectées manuellement, à l'aide de SonarPro.

$i$	0	1	2	3	4	5
$\tau(i)$	7054	7092	7374	7748	9038	9688
$\sigma(i)$	1	2	1	0	1	5
$\tilde{r}(i)$	52.42	12.47	54.40	52.68	27.73	26.98

6	7	8	9	10	11
10024	10817	11172	11232	11279	11688
4	3	3	4	5	1
37.90	36.71	37.37	31.03	33.51	15.05

## 4.3 Contraintes

$$t \in \{6000.0, 6000.1, 6000.2, \dots, 11999.4\},$$

$$i \in \{0, 1, \dots, 11\},$$

$$\begin{pmatrix} p_x(t) \\ p_y(t) \end{pmatrix} = \frac{\pi \cdot R_{\Gamma}}{180} \cdot \begin{pmatrix} 0 & 1 \\ \cos(\ell_y^0(t) * \frac{\pi}{180}) & 0 \end{pmatrix} \begin{pmatrix} \ell_x(t) - \ell_x^0 \\ \ell_y(t) - \ell_y^0 \end{pmatrix},$$

$$\mathbf{p}(t) = (p_x(t), p_y(t), p_z(t)),$$

$$\mathbf{R}_{\psi}(t) = \begin{pmatrix} \cos \psi(t) & -\sin \psi(t) & 0 \\ \sin \psi(t) & \cos \psi(t) & 0 \\ 0 & 0 & 1 \end{pmatrix},$$

$$\mathbf{R}_{\theta}(t) = \begin{pmatrix} \cos \theta(t) & 0 & \sin \theta(t) \\ 0 & 1 & 0 \\ -\sin \theta(t) & 0 & \cos \theta(t) \end{pmatrix},$$

$$\mathbf{R}_\varphi(t) = \begin{pmatrix} 1 & 0 & 0 \\ 0 & \cos \varphi(t) & -\sin \varphi(t) \\ 0 & \sin \varphi(t) & \cos \varphi(t) \end{pmatrix},$$

$$\mathbf{R}(t) = \mathbf{R}_\psi(t)\mathbf{R}_\theta(t)\mathbf{R}_\varphi(t),$$

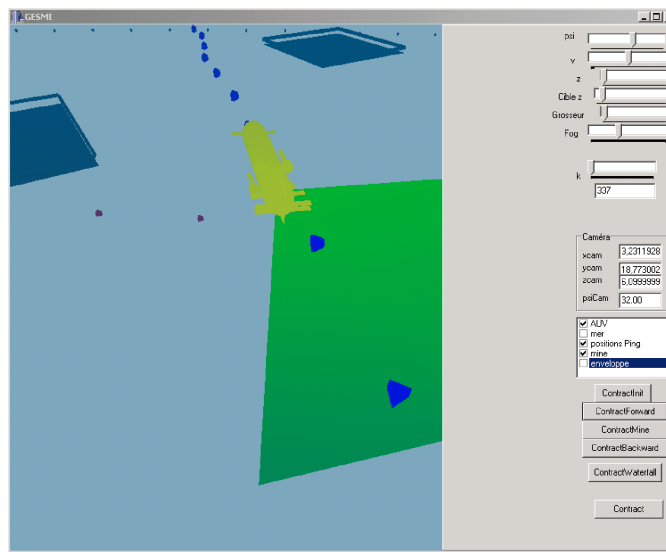
$$\dot{\mathbf{p}}(t) = \mathbf{R}(t) \cdot \mathbf{v}_r(t),$$

$$\|\mathbf{m}(\sigma(i)) - \mathbf{p}(\tau(i))\| = r(i),$$

$$\mathbf{R}^\top(\tau(i)) (\mathbf{m}(\sigma(i)) - \mathbf{p}(\tau(i))) \in [0] \times [0, \infty]^{\times 2},$$

$$m_z(\sigma(i)) - p_z(\tau(i)) - a(\tau(i)) \in [-0.5, 0.5]$$

## 4.4 GESMI

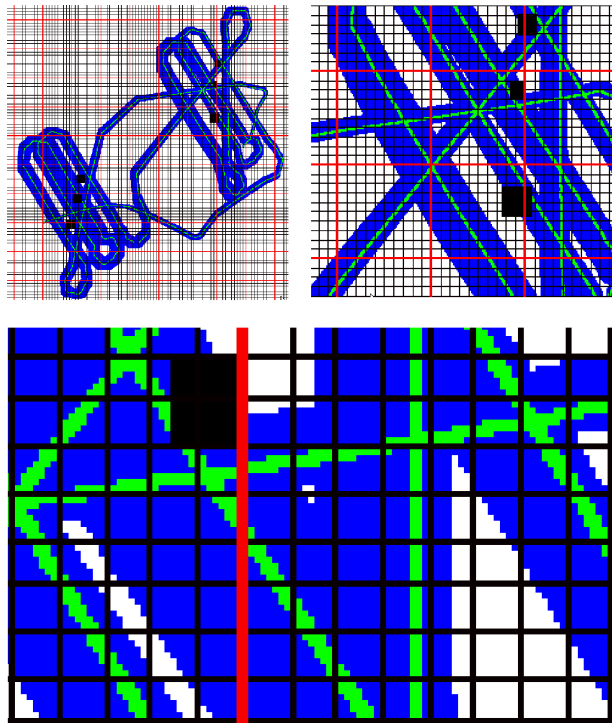


GESMI (Guaranteed Estimation of Sea Marks with Intervals)

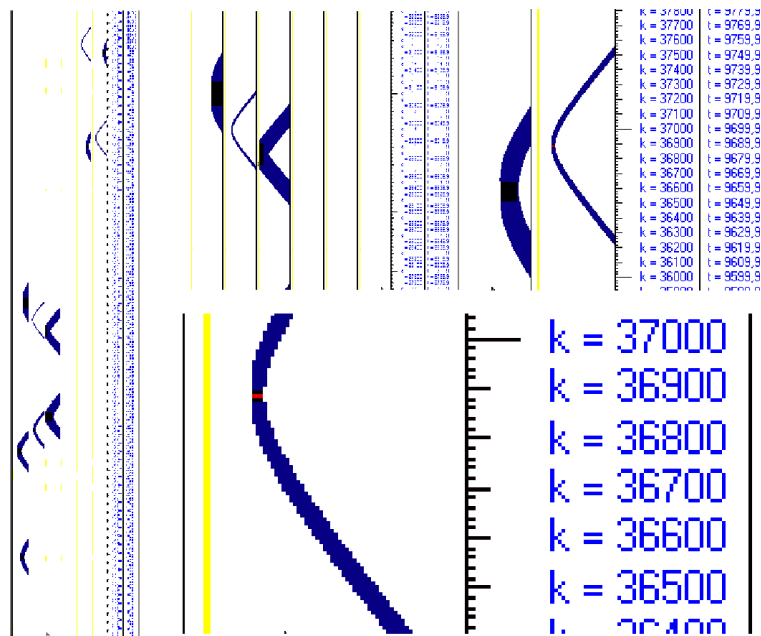
**Cas 1** : GESMI seul avec sonar, lock-Doppler, centrale,  
...

**Cas 2** : On rajoute les données d'un système de localisation  
qui affirme une précision de 5m.

**Cas 3** : Le système affirme une précision de 1m.



Trajectoire reconstruite par GESMI



Cascade reconstruite par GESMI

